

أنواع سامانه رگه - رگچه مرتبط با کانه‌زایی و مطالعات میانبارهای سیال در کانسار مس - مولیدن پورفیری سوناجیل، پنهنه ماگمایی ارسباران

محمد رضا حسین‌زاده^۱، سجاد مغفوری^۲، مهسا قربانی^۳ و محسن مؤید^۴

^۱دانشیار، گروه علوم زمین، دانشکده علوم طبیعی، دانشگاه تبریز، تبریز، ایران

^۲دانشجوی دکترا، گروه علوم زمین، دانشکده علوم طبیعی، دانشگاه تبریز، تبریز، ایران

^۳استاد، گروه علوم زمین، دانشکده علوم طبیعی، دانشگاه تبریز، تبریز، ایران

تاریخ پذیرش: ۱۳۹۴/۰۵/۲۶ تاریخ دریافت: ۱۳۹۴/۱۲/۲۶

چکیده

منطقه مورد مطالعه در شمال باخته ایران و در پنهنه فلززایی ارسباران جای دارد. مجموعه سنگ‌های موجود در منطقه سوناجل شامل گذازه‌های آندزیتی ائوسن، میکرودیوریت پورفیری، توده گرانیتیویدی اینچه و توده‌های آتشفسانی اکوزداغی به سن پلیوکواترنری است. میزان اصلی کانی سازی مس و مولیدن نوع پورفیری در منطقه سوناجل توده میکرودیوریت است. بیشتر کانسارسازی به صورت افشار و رگه - رگچه‌ای است. رگه - رگچه‌های اصلی در منطقه سوناجل بر پایه ساختار، بافت و کانی شناسی به شش گروه A, B, C, D, E و F تقسیم شده‌اند که دارای مجموعه‌ای از کانی‌های سولفیدی (پیریت، کالکوپیریت، مولیدنیت، بورنیت، تتراهریت - تنانیت و انارژیت)، اکسیدی و هیدروکسیدی (مگنتیت و اسپیکولاریت) و کربناتی (مالاکیت و آزویریت) هستند. مطالعه میانبارهای سیال در کانسار سوناجل نشان دهنده وجود انواع میانبارهای سیال تک‌فازی بخار، دوفازی مایع - بخار و چندفازی مایع - بخار - جامد از نوع اولیه در رگچه‌های کوارتز - سولفید است. دمای همگن شدگی برای سیال‌های دوفازی میان ۱۸۰/۵ تا ۵۶ درجه سانتی گراد و درجه شوری میان ۰/۷ تا ۱۵/۷ درصد وزنی نمک طعام است؛ دمای همگن شدگی برای میانبارهای سیال سه‌فازی که به فاز هالیت همگن می‌شوند میان ۵۶ تا ۳۷۸ درجه سانتی گراد و درجه میان ۳۲۵ تا ۴۸۵ درجه سانتی گراد است. همچنین میزان شوری این سیال‌ها در بازه ۳۵/۳ تا ۶۹ درصد وزنی نمک طعام است. همزیستی میانبارهای سیال تک‌فازی و دوفازی غنی از بخار در کنار میانبارهای سیال سه‌فازی و وجود دو جمعیت سیال‌های با شوری بالا و شوری پایین نشان دهنده رخداد فرایند جوشش در کانسار سوناجل است.

E-mail: Mr-hosseinzadeh@tabrizu.ac.ir

کلیدواژه‌ها: کانسار مس - مولیدن پورفیری، رگه - رگچه، میانبار سیال، سوناجل، پنهنه ارسباران.
***نویسنده مسؤول:** محمد رضا حسین‌زاده

۱- پیش‌نوشتار

کمریند آتشفسانی سنوزوییک در شمال باخته ایران یکی از کمریندهای فلززایی مس - مولیدن - طلا است که به نام پنهنه آذری‌ایجان یا پنهنه ارسباران نیز شناخته می‌شود (Jamali and Mehrabi, 2014). در پنهنه ارسباران چیشن سامانه‌های پورفیری، روند شمال باخته - جنوب خاور نشان می‌دهد که به طول نزدیک به ۲۵۰ کیلومتر کشیده شده و قابل مقایسه با کمریند فلززایی پورفیری نوع آند در آمریکای جنوبی است (Maghsoudi et al., 2012).

توزیع سامانه‌های کانایی نشان می‌دهد که هر دو نوع کانی‌زایی پورفیری یعنی مس - مولیدن پورفیری و مس - طلا - مولیدن پورفیری در بخش شمالی این پنهنه تشکیل شده است که از جمله این کانسارها می‌توان کانسار سونگون و بالوجه در ایران و کانسارهای آگاراک و پاراغاچای در ارمستان را نام برد (Maghsoudi et al., 2012). در بخش جنوبی، کانسارهای پورفیری از نوع غنی از طلا (Au-rich) هستند که از جمله این کانسارها می‌توان به میرکوه علی میرزا، مسجد داغی و شاللو اشاره کرد (Maghsoudi et al., 2012).

از دید موقعیت زمین‌شناسی، محدوده سوناجل در بخشی از شمال باخته نقشه زمین‌شناسی ۱:۲۵۰۰۰۰ اهر (لسکویه و همکاران، ۱۳۶۸) و بخش مرکزی نقشه چیره از سنگ‌های آتشفسانی و نیمه‌ژرف ائوسن - الیگوسن پوشیده شده است. از دید ساختاری نیز گسل‌های بزرگ با طول‌های چندین کیلومتر در منطقه دیده نشده ولی در محدوده معدنی سوناجل، به طور چیره گسل‌های کانه‌دار در پیرامون توده نفوذی سوناجل روند شمال باخته - جنوب خاور دارند. بر پایه بررسی‌های صحرایی و نقشه زمین‌شناسی ۱:۵۰۰۰ (حسین‌زاده، ۱۳۸۷)، واحدهای اصلی در محدوده کانی‌زایی شامل آندزیت‌های ائوسن زیرین تا میانی، توده پورفیری میکرودیوریت سوناجل،

پنهنه ماگمایی ارسباران در شمال باخته ایران میزبان انواع مختلف کانساری است. کانسارهای پورفیری، اسکارن و اپی‌ترمال شاخص ترین انواع کانی‌زایی این پنهنه در ارتباط با توده‌های نفوذی سنوزوییک هستند. این پنهنه پس از پنهنه فلززایی کرمان، مهم‌ترین بخش ایران از دید ذخایر مس به ویژه مس پورفیری است. از جمله این کانسارها می‌توان به کانسار مس - مولیدن پورفیری سونگون (کلاگری و همکاران، ۲۰۰۴)، کانسار پورفیری - اپی‌ترمال مس - طلا مسجدادگی (زنوزی و همکاران، ۱۳۸۷)، کانسار مس - مولیدن میرکوه علی میرزا (2012) و کانسار مس - مولیدن بالوجه (حسین‌زاده و همکاران، ۱۳۹۴) اشاره کرد.

کانسار مس سوناجل، در فاصله ۱۰۰ کیلومتری شمال خاوری تبریز و ۱۷ کیلومتری خاور شهرستان هریس جای گرفته است. این مقاله می‌کوشد تا با دسته‌بندی انواع رگه - رگچه‌ها با استفاده از داده‌های مغذه‌های حفاری و مطالعات کانی‌شناسی آنها و نیز مطالعه میانبارهای سیال، افزون بر نشان دادن کانی‌سازی نوع مس - مولیدن پورفیری، شواهد وجود یک سامانه واحد کانه‌زایی گرمایی را بیان کند.

۲- روش پژوهش

در انجام این پژوهش، پس از انجام عملیات صحراوی و کنترل واحدهای سنگی موجود در نقشه زمین‌شناسی ولاگینگ ۱۷ گمانه اکتشافی (بامتراز حدود ۵۱۰۰ متر) پاژرفاوی میانگین ۳۲۰ متر (کمینه ۱۱۸ متر و بیشینه ۴۵۰ متر) نمونه‌برداری از توده‌های نفوذی، پنهنه‌های کانه‌دار و دگرسان انجام شد و سپس ۱۰۰ مقطع نازک، ۶۰ مقطع صیقلی و ۱۰ مقطع دوبر صیقلی تهیه شد و مورد مطالعات سنگ‌نگاری، کانه‌نگاری و میانبارهای سیال قرار گرفت. مطالعات داماسنجی میانبارهای سیال توسط استیج لینکام محصل به میکروسکوپ لايتز و با عدسی شیئی با بزرگ‌نمایی ۸۰× در دانشگاه تربیت مدرس تهران صورت گرفته است.

۸۰ درصد)، فلذسپار قلیابی از نوع سانیدین (۰ تا ۱۵ درصد)، کلینوپیروکسن اوژیتی (۰ تا ۱۰ درصد)، الیوین (۰ تا ۱۰ درصد) و بیوتیت (۳ درصد) است. این گدازه آتشفشنایی ترکیب تراکی آندزیت بازالتی دارد.

۴- کانه‌زایی در منطقه معدنی سوناجیل

کانی سازی گرمایی درونزد در توده سوناجیل پورفیری به صورت افسان در متن سنگ و نیز به صورت رگچه‌ای و رگه‌ای همراه با کوارتز، کربنات و دیگر محصولات دگرسانی درونزد صورت گرفته است. بیشترین حجم کانی سازی رگچه‌ای و افسان به همراه دگرسانی پتاسیک و تا حد کمتری فیلیک صورت گرفته (جدول ۲) است و رگه- رگچه‌های مشخصی از سولفیدها در حاشیه توده پورفیری دیده می‌شوند که این از شاخصه‌های اصلی کانسارهای مس پورفیری است (Richards, 2003). به طور چهار این رگه‌ها در امتداد گسل‌های پیرامون توده پورفیری سوناجیل تشکیل شده‌اند. روند عمومی این رگه‌های کانه‌دار شمال باخت- جنوب خاور است (شکل ۶-الف). کانی‌های سولفیدی اصلی درونزد در این توده شامل پیریت، کالکوپیریت و بورنیت است و مولیدنیت نیز به مقدار جزیی در رگه- رگچه‌های حاشیه‌ای حضور دارد. این نوع کانی‌شناسی از بیشتر کانسارهای مس پورفیری گزارش شده است (Sillitoe and Perello, 2005). سولفوسالت‌های موجود در این توده عبارتند از تراهادریت- تنانیت و انارزیت. مگنتیت و به مقدار کمی اسپیکولاریت کانی‌های اکسیدی اصلی را تشکیل می‌دهند. دیده شدن رخمنون زیادی از دگرسانی پتاسیک در سطح زمین، نشان از تأثیر فراسایش ژرف بر این کانسار دارد؛ به طوری که حجم زیادی از دگرسانی‌های پروپلیتیک، آرژیلیک و فیلیک فراسایش پیدا کرده‌اند و در هسته اصلی کانی‌زایی رخمنون ندارد. دگرسانی‌های پروپلیتیک و آرژیلیک بیشتر در بخش حواشی سامانه پورفیری رخمنون دارند. عیار میانگین مس در این کانسار (تا زمان انجام این مطالعه) میان ۰ تا ۲۰ درصد متغیر است؛ ولی با توجه به ادامه حفاری‌ها و همچنین لزوم تکمیل شبکه حفاری، برای تناز این کانسار پورفیری برآورد اولیه‌ای صورت نگرفته است. هم اکنون نیز بخش خصوصی در حال انجام اکتشافات سطحی و حفاری در منطقه است.

بر پایه ساختار، بافت و کانی‌شناسی، رگه- رگچه‌های اصلی در منطقه سوناجیل به ترتیب رخداد، از نوع رگه A تا نوع F نام گذاری شده‌اند. Gustafson and Hunt (1975) رگه- رگچه‌های موجود در کانسار مس پورفیری السالادور شیلی را به ترتیب A، B و C نام گذاری کرده‌اند.

۴-۱. رگه- رگچه‌های نوع A

در کانسار مس سوناجیل، این نوع رگه‌ها درون توده پورفیری کوارتزدیبوریتی و در امتداد شمال باخت- جنوب خاور بیشترین گسترش را دارند (شکل ۶-الف). شکل نمادین این رگه، در بخش‌های مرکزی و درون خود توده نفوذی و در ارتباط با دگرسانی پتاسیک در هسته سامانه پورفیری وجود دارد و شامل کوارتز+ کالکوپیریت+ پیریت± بورنیت± مولیدنیت± مگنتیت است (شکل ۳). بر پایه مطالعات Sillitoe (2010) این نوع پارائزتر کانی‌ای در رگه‌های کانسارهای پورفیری نشان‌دهنده تشکیل در شرایط دما بالای کانسار است. کالکوپیریت و پیریت فراوان ترین کانی‌های کلر موجود در توده میکرودیبوریت سوناجیل هستند که گاه تا ۴۵ درصد نمونه را تشکیل می‌دهند و به شکل‌های مختلف همچون افسان، نیمه‌شکل دار تا بی‌شکل و توده‌ای، رگچه‌ای و یا جانشینی دیده می‌شوند. مولیدنیت به مقدار به نسبت کم و به صورت پولکی و ورقه‌های خمیده و در اندازه‌های متفاوت (گاه تا ۲ میلی‌متر) دیده می‌شود و یک کانی تأخیری نسبت به پیریت و کالکوپیریت در رگه‌های نوع A، به شمار می‌رود.

۴-۲. رگه- رگچه‌های نوع B (رگه- رگچه‌های تیره)

این نوع رگه‌ها دارای مجموعه کانی‌ای کوارتر تیره+ پیریت+ کالکوپیریت± مگنتیت

استوک گرانیتوییدی اینچه و گدازه آتشفشنایی اکوزداغی هستند (شکل ۱):

- آندزیت پورفیری ائوسن زیرین تا ائوسن میانی: با توجه به اینکه چینه‌های آهکی نومولیت دار به سن ائوسن زیرین- میانی به صورت همشیب روی این واحدها (در بیرون از محدوده) قرار می‌گیرند، می‌توان سن ائوسن زیرین را برای این سنگ‌ها در نظر گرفت. حد پایینی ائوسن در این منطقه، نهشته‌های فیلیشوییدی کرتاسه بالایی- پالئوسن است و حد بالایی آن (با توجه به نبود سازند قم)، با تزیریق توده پورفیری سوناجیل مشخص می‌شود (شکل ۲-الف). این واحد، سنگ درونگیر توده سوناجیل پورفیری به شمار می‌رود و دارای همبری مشخص با توده باد شده و نیز توده نفوذی اینچه است که در محل همبری، آثار دگرگونی مجاورتی در حد رخساره آلتیت- اپدوت هوونفلس بسیار جزیی دیده می‌شود (شکل ۱-الف). این سنگ‌ها شامل تناوبی از آندزیت‌های مگاپورفیری، بازالت آندزیتی، آندزیت بازالتی، آندزیت و توف‌های گوناگون و به رنگ‌های مختلف هستند.

- توده پورفیری میکرودیبوریت سوناجیل: این توده کهن‌ترین و اولین مرحله نفوذ در طول فعالیت ماقمایی ترشیری در منطقه است و مساحت رخمنون این توده پورفیری حدود ۱۲ کیلومتر برآورده می‌شود. این توده دارای همبری مشخص با سنگ‌های آتشفشنایی- آذرآواری ائوسن است (شکل ۱-الف). همچنین توده نفوذی اینچه در زمان الیگوسن به درون واحدهای ائوسن نفوذ کرده است و دایک‌های منشعب از توده اینچه را نیز می‌توان در بخش‌های مختلف درون توده پورفیری دید (شکل ۲-ب). ترکیب این توده در حد میکرودیبوریت پورفیری بوده و دچار دگرسانی‌های همچون فیلیک، آرژیلیک و به مقدار کم پتاسیک شده است و کانی‌زایی مس به صورت رگه- رگچه‌ای و افسان در آن به فراوانی دیده می‌شود. این نوع دگرسانی‌ها و این نوع کانی‌زایی از شاخصه‌های اصلی یک کانسار نمادین پورفیری است (Richards, 2010؛ Sillitoe, 2011؛ Shkel ۲-پ). از دید ماکروسکوپی این واحد بافت پورفیری و استوکورک دارد و به رنگ‌های خاکستری روشن تا تیره و در مواردی که دچار دگرسانی آرژیلیک شده‌اند، به رنگ زرد و سفید دیده می‌شود (شکل ۲-پ). پلازیوکلاز (۴۰ تا ۶۵ درصد) به صورت درشت‌بلور (تا ۴/۲ میلی‌متر) و میکرولیت به فراوانی در زمینه سنگ‌ها حضور دارد (شکل ۲-ت). این کانی به طور کامل یا بخشی به فلذسپار قلیابی، سریسیت، تورمالین، کلسیت و کانی‌های رسی تجزیه شده است. آمفیبول و کلینوپیر و کسن اوژیتی (۰ تا ۲۰ درصد)، مهم ترین کانی‌های فرومینیزین در این سنگ‌ها هستند و در برخی از نمونه‌ها تا حدی حفظ شده‌اند، ولی در بیشتر موارد تبدیل شدگی زیادی به کلریت، کلسیت و اپدوت نشان می‌دهند. گرچه به دلیل دگرسانی شدید این استوک، تجزیه مواد نمونه‌ها بر پایه مقادیر کانی‌های اصلی سنگ‌ساز میسر نیست، ولی بر پایه بخش‌های بازمانده کانی‌های اصلی می‌توان ترکیب میکرودیبوریتی تا کوارتز میکرودیبوریتی را برای آن در نظر گرفت.

- استوک گرانیتوییدی اینچه: به طور کلی، این توده دارای بافت گرانولار و پورفیری (در حاشیه) و به صورت استوک‌های مشخص با ابعاد مختلف به درون توده پورفیری نفوذ کرده است و نیز به دلیل داشتن مقاومت فراسایشی بالا، دایک‌های مربوط به این توده را می‌توان به صورت بر جسته و مشخص درون توده سوناجیل پورفیری دید (شکل ۲-ب).

- گدازه آتشفشنایی اکوزداغی: این گدازه از جمله نمونه‌های آشکار فوران‌های نقطه‌ای در منطقه هریس به شمار می‌رود. با توجه به اینکه توده پورفیری سوناجیل تقریباً در دور تادور قله اکوزداغی دیده می‌شود، می‌توان تصور کرد که فوران این گدازه تقریباً از مرکز سامانه پورفیری سوناجیل صورت گرفته باشد (شکل ۱). این سنگ‌ها از دید میکروسکوپی دارای بافت‌های هیالومیکرولیتیک پورفیری تا سرثیتی، هیالومیکولیتی، میکرولیتی فلستینیک، اینترگرانولار و گلومروپورفیریک با خمیره‌ای میکرولیتی و شیشه‌ای هستند و کانی‌های موجود در آنها شامل پلازیوکلاز (۵۰ تا

۵- مطالعات میانبارهای سیال

به منظور شناخت ماهیت فیزیکوشیمیایی سیال کانه ساز و بررسی روند تغییرات شیمیایی و دمایی سیال (یا سیال‌ها) کانه ساز، از رگه- رگچه‌های کوارتز- سولفیدی نوع A، B و D گمانه‌های اکتشافی BHS14 و BHS07، تعداد ۱۰ مقطع دورصیقل (۴: A؛ ۳: B؛ ۳: C مقطع) برای مطالعات ریزدماسنجه میانبارهای سیال تهیه شد (شکل ۶- ب).

ریخت‌شناسی و مشخصات میانبارهای سیال در دمای اتاق با استفاده از معیارهای (Roedder et al. 1984) و (Shepherd et al. 1985) ثبت شد. همچنین نسبت‌های فاز بخار/ سیال، با استفاده از جدول استاندارد پیشنهادی Shepherd et al. (1985) ارزیابی شد. میانبارهای سیال بر پایه چگونگی رخداد آنها در کانی میزان، ارتباط آنها با یکدیگر و نوع سیال‌ها و بر پایه رده‌بندی Wilkinson (2001) دسته‌بندی شدند.

۱. سنتکاری میانبارهای سیال

از دید شکل ظاهری، میانبارهای سیال در رگه- رگچه‌های کوارتز- سولفیدی را توجه به متغیرهای (Roedder et al. 1984) و (Shepherd et al. 1985) می‌توان به ترتیب فراوانی به صورت اشکال نامنظم، کشیده و کروی تقسیم‌بندی کرد. میانبارهای سیال در نمونه‌های کوارتزی مطالعه شده در ۳ نوع دیده شده‌اند (شکل ۷): (الف) میانبارهای سیال نوع I (تک‌فازی)؛ (ب) میانبارهای سیال نوع II (دوفازی L+V)؛ (ج) میانبارهای سیال نوع III (سه‌فازی) یا چند فازی + CO₂. (Solid L+V+CO₂) .

- میانبارهای سیال نوع I (تک‌فازی): این نوع، شامل میانبارهای سیال تک‌فازی غنی از CO₂ (نوع Ib) یا H₂O (نوع Ia) است که فراوانی زیادی در نمونه‌های مورد مطالعه دارند. به طور کلی، میانبارهای سیال نوع Ib با شکل‌های پیضوی یا نامنظم به صورت منفرد درون کانی میزان کوارتز یا سطوح رشد بلورهای آن دیده می‌شوند. اندازه میانبارهای سیال نوع I به طور میانگین میان ۲ تا ۸ میکرون متغیر است (شکل ۷). تشكیل این میانبارهای سیال در پهنه‌های سیال رشد بلورهای کوارتز می‌تواند نشان‌دهنده منشأ اولیه تشكیل آنها باشد (Wilkinson, 2001; Graupner et al., 2000).

درجه پرشدگی این نوع میانبارهای سیال از ۰/۰۷ تا ۰/۵۹٪ متغیر است.

- میانبارهای سیال نوع II (دوفازی L+V): این میانبارها شامل میانبارهای سیال دوفازی L+V با درجه پرشدگی میان ۰/۳۵ تا ۰/۶۰٪ هستند که بر پایه نوع فاز چیره به دو دسته IIa و IIb تقسیم‌بندی می‌شوند. میانبارهای سیال نوع IIa از نوع غنی از مایع و میانبارهای سیال نوع IIb از بخار هستند (شکل ۷). اندازه این میانبارهای سیال عموماً کمتر از ۱۲ میکرون است. دمای همگن شدگی میانبارهای سیال نوع دوفازی غنی از مایع (IIa) میان ۱۸۰/۵ تا ۵۶۵ درجه سانتی گراد و درصد شوری میان ۰/۷ تا ۰/۱۷ درصد وزنی معادل نمک طعام است (جدول ۱ و شکل‌های ۸ و ۹). در میانبارهای سیال دوفازی غنی از بخار (IIb) دمای همگن شدگی به فاز بخار میان ۲۵٪ تا ۳۹٪ درجه سانتی گراد است (شکل ۸- ب).

- میانبارهای سیال نوع III (چندفازی): این میانبارها در واقع میانبارهای چندفازی غنی از نمک (شکل ۷) و شامل حباب بخار، مایع شور و فاز نمک هستند (شکل ۷). در نمونه‌های مطالعه شده، فاز جامد از نوع هالیت و احتمالاً سیلویت به شکل مکعبی و پیضوی است (شکل‌های ۷- الف و ب). کانی‌های به دام افتاده (احتمالاً کالکوپیریت یا هماتیت) نیز در برخی نمونه‌ها دیده شده است. این کانی‌ها، به طور میانگین ۵ درصد حجم میانبارهای سیال نوع III را تشکیل می‌دهند. در مورد این دسته از میانبارهای سیال، دو دمای همگن شدگی خوانش شده است: ۱) در میانبارهایی که در آنها اندازه هالیت کوچک‌تر از اندازه بخار بود (Solid Vapor)، در طی گرم کردن اول هالیت ناپدید (دمای همگن شدگی هالیت) و در پایان میانبار به فاز بخار همگن می‌شد (دمای همگن شدگی بخار)؛ بنابراین در این نوع میانبارهای سیال دمای همگن شدگی پایانی که به فاز بخار همگن شده است میان

± کلسیت (شکل‌های ۳ و ۴) و به رگه‌های تیره معروف هستند. ستبرای رگچه‌ها از چند میلی‌متر تا ۳ سانتی‌متر است. مطالعات سنگنگاری میانبارهای سیال نشان‌دهنده فراوان بودن میزان سیال‌های غنی از بخار در این نوع رگه‌های سیال (Sillitoe (2000) همین عامل می‌تواند علت اصلی تیرگی این نوع رگه‌ها باشد. پیریت و کالکوپیریت فراوان‌ترین کانی‌های سولفیدی این رگه‌ها به شمار می‌روند و نسبت به رگه‌های نوع A تأخیری هستند. این رگه‌ها نیز همانند رگه‌های نوع A در ارتباط با دگرسانی پتانسیک توده پورفیری سوناجیل و در روند گل‌های شمال باخته- جنوب خاور تشكیل شده‌اند (شکل ۶- الف).

۴-۳. رگه- رگچه‌های نوع C (رگه- رگچه‌های اکسیدی)

این نوع رگه‌ها به رگه‌های اکسیدی معروف و دارای مجموعه کانی‌شناسی کوارتز + مگنتیت ± اسپیکولاریت ± کالکوپیریت هستند. رگه‌های نوع C، انواع B را قطع کرده‌اند و خودتوسط رگه‌های E, F را قطع می‌شوند (شکل‌های ۳ و ۵). وجود بلوهای سوزنی اسپیکولاریت حتی در نمونه‌های دستی سبب تمایز آسان این نوع رگه‌ها از دیگر رگه‌های کانسار سوناجیل می‌شود (شکل‌های ۴- ت). کالکوپیریت به مقدار بسیار کم در این رگه‌ها دیده می‌شود. این نوع رگه‌ها در پهنه‌های دگرسانی پتانسیک و فیلیک تمرکز دارند.

۴-۴. رگه- رگچه‌های نوع D (رگه- رگچه‌های سولفوسالتی)

این نوع رگه- رگچه‌ها، بیشترین تمرکز را در حاشیه توده میکرودیوریت پورفیری سوناجیل دارند و محلود به پهنه دگرسانی فیلیک این کانسار هستند. این نوع رگه- رگچه‌ها به دلیل داشتن پاراژنر کانی‌ای کوارتز + کالکوپیریت + بورنیت + تترادریت + تاتانیت + انارژیت + مولیبدنیت ± پیریت به رگه- رگچه‌های سولفوسالتی معروف هستند (شکل‌های ۴- پ و ث و ۵- پ و جدول ۲). این رگچه‌ها پر عیارترین نوع رگه‌های کانسار سوناجیل به شمار می‌روند و توسط رگچه‌های نوع C A, B و C قطع شده‌اند.

مطالعات ماکروسکوپی نشان‌دهنده بالا بودن میزان مولیبدنیت در این رگه‌های سیال، به طوری که به صورت پولک‌های ریز حتی در نمونه دستی نیز نمایان هستند. بر پایه Gustafson and Hunt (1975)، کوارتز دانه درشت و نداشتن فلدسپار پتانسیم و سامانه رگه با حضور مولیبدن، کوارتز دانه درشت و نداشتن فلدسپار شیلی این کانی‌های دگرسانی هیدرولیتیکی درون و حاشیه رگه شناخته می‌شود. در کانسار سوناجیل می‌توان این سامانه رگه را به عنوان عامل اصلی بارورشده کی منطقه معدنی از دید عنصر مولیبدن و سولفوسالت‌ها در نظر گرفت. رگه‌های سولفوسالتی معمولاً در شرایط دماپایین تری نسبت به رگه‌های A و B تشکیل می‌شوند (Sillitoe and Perello, 2005).

۴-۵. رگه- رگچه‌های نوع E

این سامانه رگه به طور چیره از کوارتز + پیریت ± کلسیت تشكیل شده است. رگه- رگچه‌های نوع E بیشترین گسترش را در پهنه دگرسانی فیلیک و درون توده میکرودیوریت دگرسان شده نشان می‌دهد. این سامانه رگچه‌های از دید کانی زایی قابل توجه نیست و مربوط به مراحل پایانی فعالیت سیال گرمایی است (شکل‌های ۴ و ۵).

۴-۶. رگه- رگچه‌های نوع F (رگه- رگچه‌های تأخیری)

این سامانه که به رگه- رگچه‌های تأخیری نیز معروف است بیشتر شامل کلسیت و کوارتز بدون کانی سولفیدی است (جدول ۱). این نوع رگه- رگچه‌ها کل سامانه رگه‌های پیشین را قطع می‌کنند و به طور کلی در همه پهنه‌های دگرسانی گستره شده اند (شکل‌های ۴ و ۵). این نوع رگه- رگچه‌ها توسط حسینی و همکاران (۱۳۹۰) از کانسار مس تخت گند نیز گزارش شده است. رگه- رگچه‌های تأخیری یکی از شواهد پایان فعالیت‌های گرمابی در مناطقی با سامانه‌های پورفیری است (Richards, 2011; Sillitoe, 2010).

به صورت سامانه رگه- رگچه‌ای نمود یافته‌اند. میزان و نوع کانه‌زایی موجود در این رگه‌ها، تفکیک شده است و نتایج به دست آمده نشانگر تطبیق ترکیبی، کانی شناسی و ویژگی‌های سیال کانه‌دار این کانسار با کانسارهای مس پورفیری است. با توجه به تفکیک رگه‌ها و سامانه کانی‌زایی در کانسار سوناجیل می‌توان گفت که تشکیل مس به طور کلی در دو مرحله (دو پالس) صورت گرفته است و فازهای اصلی کانی‌زایی را در منطقه سوناجیل شامل می‌شوند؛ این دو مرحله به صورت رگه‌های نوع A و رگه‌های نوع D در منطقه بروند دارد. مطالعات میانبارهای سیال روی این نوع رگه‌های نشان می‌دهد که رگه‌های نوع A دمابالتر و شورتر از رگه‌های نوع D هستند (جدول ۱)؛ همچنین بیشتر حجم میانبارهای رگه‌های نوع D از نوع دفازی است. این مطالعات کاملاً با مطالعات صحرایی انتباط خوبی دارد؛ به طوری که میانبارهای سیال نوع A بیشتر در هسته سامانه پورفیری و در دگرسانی پتانسیک گسترش بیشتری دارند؛ در حالی که رگه‌های نوع D در حواشی سامانه پورفیری سوناجیل تشکیل شده و بنابراین در شرایط دماپایین تری نسبت به رگه‌های نوع A به وجود آمده‌اند. تفکیک رگه‌های کانه‌دار از رگه‌های بدون کانه، نشان‌دهنده بارور یا کانه‌دار بدون رگه‌های A، B و D، نیمه‌بارور بدون رگه‌های نوع C و غیر کانه‌دار بدون رگه‌های E و F در کانسار سوناجیل است و این رگه‌ها، رگه‌های تأخیری کانسار سوناجیل و نشان‌دهنده مراحل آخر تزریق سیال‌ها از سامانه پورفیری یاد شده هستند.

مطالعات میانبارهای سیال در کانسار سوناجیل نشان‌دهنده وجود فازهای مختلف در کنار هم است. به طوری تک فازهای غنی از مایع و بخار در کنار چند فازی‌ها دیده می‌شود و این نشان‌دهنده فرایند جوشش در سامانه پورفیری یاد شده است که سبب جدایش سیال‌های با شوری بالا و سیال‌های با شوری پایین شده است. همچنین حضور میانبارهای سیال دمابالا در کنار میانبارهای سیال دماپایین در سامانه رگه‌های کوارتز- سولفیدی، یکی دیگر از شواهد جوشش است. افزون بر این موارد، وجود شوری بالای ۴۰ درصد وزنی معادل نمک طعام نیز نشان‌دهنده رخداد فرایند جوشش در کانسار سوناجیل است.

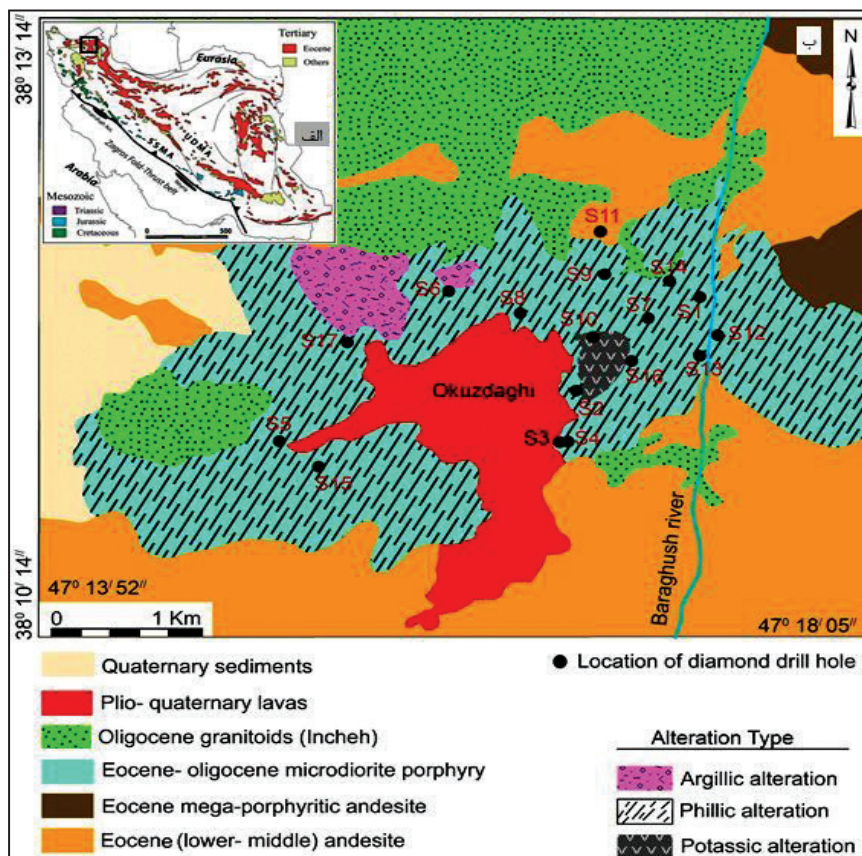
گفتنی است که از دید اقتصادی و اکتشافی، گسترش توده‌های نفوذی پورفیری در کمان ماسگمایی ارسباران و رخداد کانه‌زایی‌های مس- مولیبدن پورفیری در آن، برنامه‌ریزی برای اکتشاف ذخایر جدید از این نوع کانسارها را در این پهنه و نیز در دیگر محیط‌های زمین‌شناسی مشابه ارسباران مورد تأکید قرار می‌دهد.

۳۲۵ تا ۴۸۵ درجه سانتی گراد و شوری اینها نیز میان ۴۶/۴ تا ۳۵/۳ معادل وزنی نمک طعام به دست آمده است؛^۲ در میانبارهایی که فاز جامد خیلی بزرگ‌تر از فاز بخار بود (Solid>Vapor) اول فاز بخار ناپدید و میانبار به فاز جامد همگن می‌شد. بنابراین در این نوع میانبارهای سیال دمای همگن شدگی پایانی که به فاز جامد همگن شده است میان ۳۷۸ تا ۵۶۵ درجه سانتی گراد و شوری اینها نیز میان ۴۵/۳ تا ۶۹ به دست آمده است (شکل‌های ۹- ب و پ).

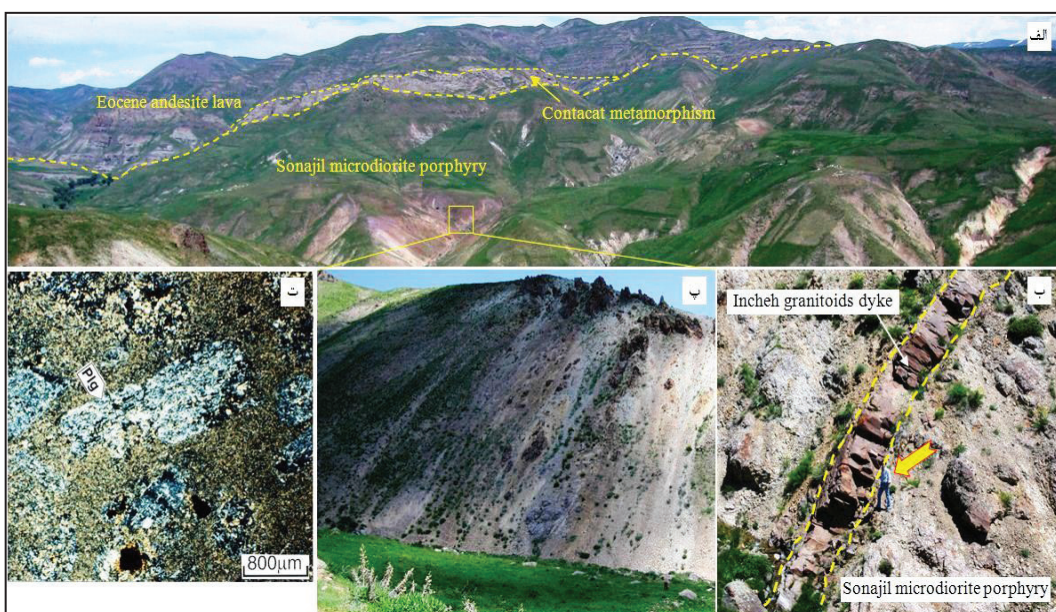
وجود میانبارهای سیال غنی از بخار که در یک محدوده دمایی یکسان با میانبارهای سیال غنی از مایع، به حالت بخار همگن شوند و همچنین در کنار هم قرار گرفتن میانبارهای سیال تک فازی مایع و تک فازی بخار به همراه میانبارهای سیال سه‌فازی هالیت‌دار، نشان‌دهنده فرایند جوشش است (Shepherd et al., 1985) که چنین میانبارهای سیالی در کانسار سوناجیل به ویژه در رگه- رگچه‌های نوع A و B دیده شده است. افزون بر موارد گفته شده برای تأیید فرایند جوشش، باید از نمودارهای شوری در برابر دمای همگن شدگی و در میانبارهای سیال سه‌فازی هالیت‌دار باید از نمودار TsHalite در برابر TH(L-V) استفاده شود (Shepherd et al., 1985). اگر در نمودار TH(L-V) مقادیر اندازه‌گیری شده در نزدیکی خط میانه قرار بگیرد، یعنی TH(L-V)= TsHalite است که این خود نشان‌دهنده فرایند جوشش در سامانه کانه‌زایی است؛ بنابراین با توجه به شکل ۸-الف، بیشتر میانبارهای سیال سه‌فازی کانسار سوناجیل در نزدیکی خط میانه قرار می‌گیرند و این نشان‌دهنده رخداد فرایند جوشش است. همچنین با توجه به شکل ۹-الف، وجود ۲ مجموعه میانبارهای سیال با شوری بالا (بالای ۴۰ درصد وزنی معادل نمک طعام) و شوری پایین در یک سیال کانسارساز نشان‌دهنده فرایند جوشش در سامانه گرمابی مولد کانه‌زایی است.

۸- نتیجه‌گیری

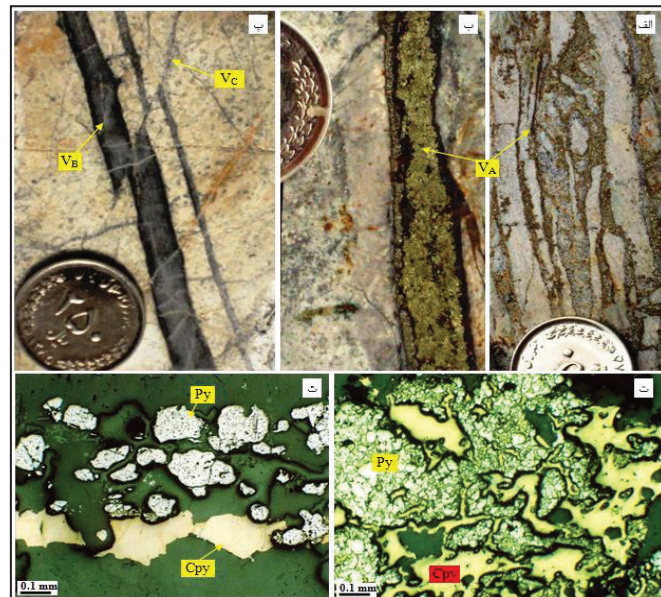
در کانسار سوناجیل، تشکیل و تکامل سامانه کانه‌زایی و دگرسانی در ارتباط با مراحل مختلف سرد شدن توده میکرودبوریت پورفیری، بیرون آمدن سیال‌ها از آن (سیال با منشأ ماسگمایی)، ورود آب‌های با منشأهای گوناگون مانند آب‌های جوی به درون سامانه و همچنین تزریق پالس‌های ماسگمایی آب‌دار و بارور است که به صورت سامانه‌های مختلف رگه- رگچه‌ای آشکار می‌شود. این پالس‌های مولد کانه‌زایی



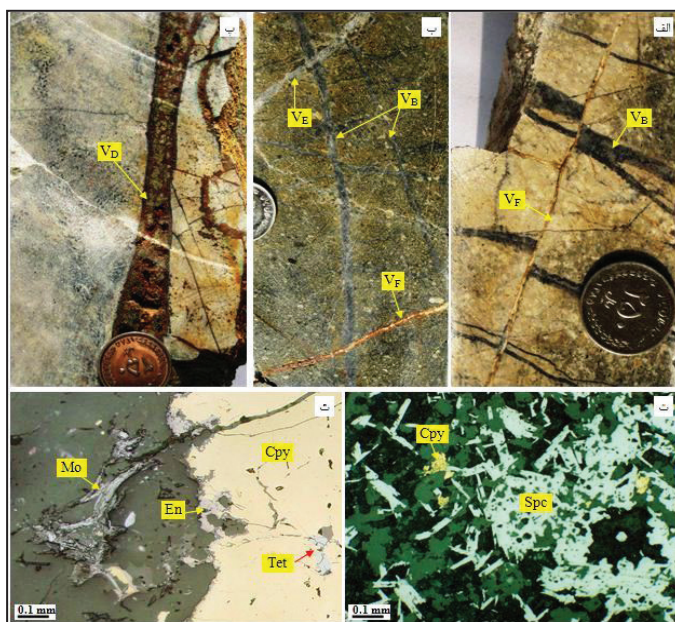
شکل ۱- (الف) نقشه زمین شناسی - ساختاری ایران (Agard et al., 2011) و موقعیت منطقه مورد مطالعه که با نشانه کادر روی پهنه ماگمایی ارومیه-دختر (UDMA) نشان داده شده است؛ (ب) نقشه زمین شناسی منطقه معدنی سوناجیل و رخداد کانی زایی مس در واحد میکرودیوریت پورفیری (حسین زاده، ۱۳۸۷).



شکل ۲- (الف) نفوذ توده میکرودیوریت پورفیری سوناجیل به درون واحدهای گدازه‌ای اثوسن، با حاشیه دگرگون شده؛ (ب) نفوذ دایک‌های از توده گرانیتوییدی اینچه به درون توده پورفیری سوناجیل، (پ) تصویر بزرگ شده از توده پورفیری سوناجیل که به شدت دگرسان شده است؛ (ت) تصویر میکروسکوپی از توده پورفیری سوناجیل، که تحت تأثیر سرسیتی شدن قرار گرفته است (P: پلازیوکلاز).

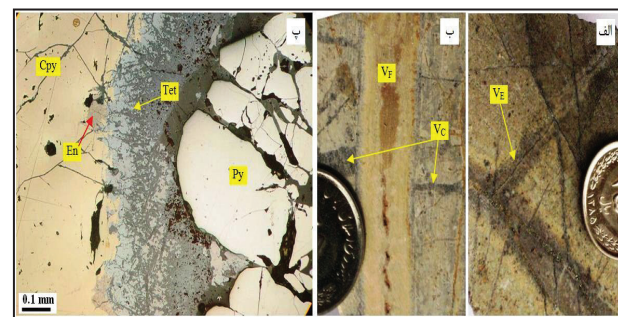


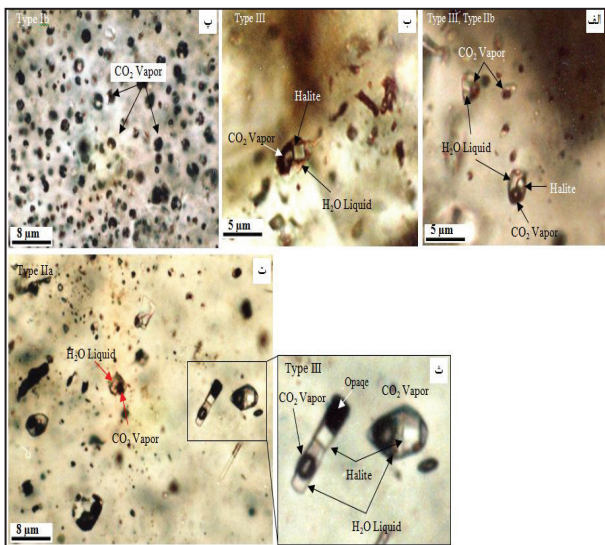
شکل ۳-الف و ب) نمونه دستی از رگه‌های نوع A با کانی‌شناسی کوارتز + کالکوپیریت + پیریت + پورنیت ± مولیبدنیت ± مگنتیت؛ ب) نمونه دستی از رگه‌های نوع B با کانی‌شناسی کوارتز تبره + پیریت ± کالکوپیریت ± مگنتیت ± کلسیت که توسط رگه‌های نوع C دارای کوارتز + مگنتیت ± اسپیکیولاژیت ± کالکوپیریت قطع شده است؛ ت) تصویر میکروسکوپی از رگه‌های نوع A که به طور چیره از کالکوپیریت (Cpy) و پیریت (Py) تشکیل شده‌اند؛ ث) تصویر میکروسکوپی از رگه‌های نوع B دارای پیریت (Py) و به مقدار کم کالکوپیریت (Cpy).



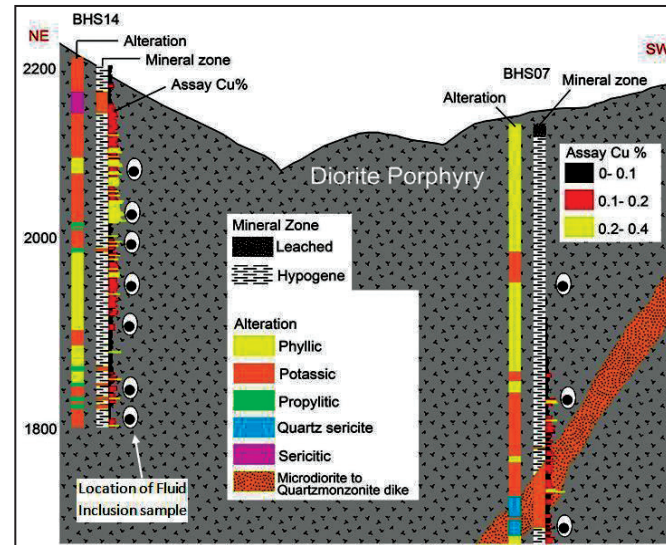
شکل ۴-الف) نمونه دستی از رگه‌های نوع B که توسط رگه‌های نوع F قطع شده است؛ ب) تصویر نمونه دستی از رگه‌های نوع B که توسط رگه‌های نوع E و F قطع شده است؛ ب) تصویر نمونه دستی از رگه‌های نوع D که به رگه‌های C از سولفوسالت معروف هستند؛ ت) تصویر میکروسکوپی از رگه‌های نوع C که به طور چیره از اسپیکیولاژیت (Spc) و کالکوپیریت (Cpy) تشکیل شده‌اند؛ ث) تصویر میکروسکوپی از رگه‌های نوع D با کانی‌شناسی تنانیت (Tet)، اناڑیت (En)، کالکوپیریت (Cpy) و مولیبدنیت (Mo).

شکل ۵-الف) نمونه دستی از رگه‌های نوع E با کانی‌شناسی کوارتز + پیریت ± کلسیت؛ ب) قطع شدگی رگه‌های نوع C توسط رگه‌های نوع F که به رگه‌های نابارور معروف هستند؛ ب) تصویر میکروسکوپی از رگه‌های نوع D با کانی‌شناسی پیریت (Py)، تنانیت (Tet)، اناڑیت (En) و کالکوپیریت (Cpy).

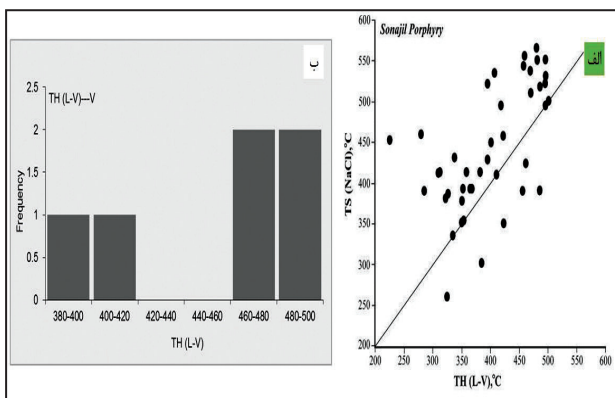




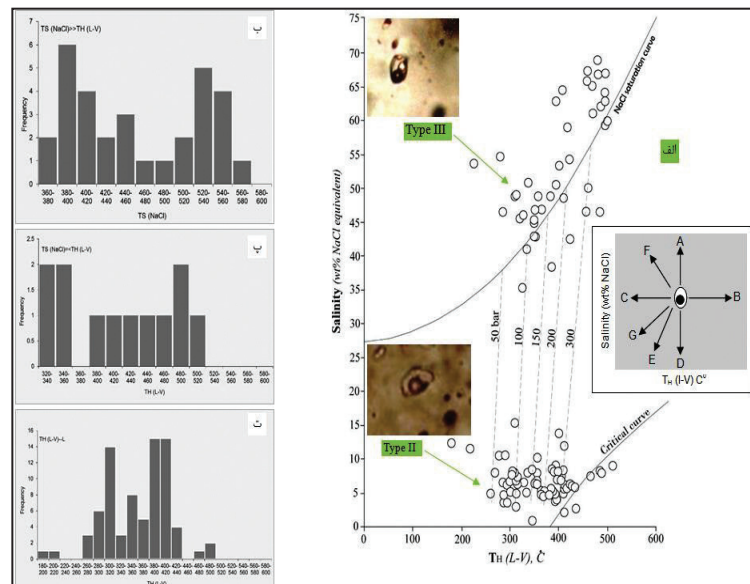
شکل ۷- (الف) تصاویر میانبارهای سیال از رگه- رگههای کانه دار کانسار سوانجل؛ (ب) میانبار سیال نوع III شامل فازهای L-V- L- فاز جامد؛ (پ) تصویری دیگر از میانبار سیال نوع III؛ (پ) میانبار سیال تک فازی غنی از بخار یا نوع Ib؛ (ت) میانبار سیال دوفازی غنی از مایع؛ (ث) میانبارهای سیال نوع III دارای فاز جامد، فاز بخار، فاز مایع و کانی کدر.



شکل ۶- (الف) نمودار گل سرخی رگه های اصلی کانه دار در کانسار پورفیری سوانجل؛ (ب) کلی رگهها به صورت شمال باخته- جنوب خاور است؛ (پ) نیميخ زمین شناسی روی توده میکرودیبوریت پورفیری میزان کانی زایی در جهت شمال خاور- جنوب باخته بر پایه گمانه های BSH07 و BSH14، که روی آن پهنه های کانی زایی، دگرسانی و تغییرات عیار مس به همراه محل نمونه برداری میانبارهای سیال مشخص شده است (حسین زاده، ۱۳۸۷).



شکل ۸- (الف) موقعیت میانبارهای سیال سه فازی هالیت دار در نمودار $\text{TH}(\text{L-V})-\text{V}$ در برابر $\text{TS}(\text{NaCl})$ در نمودار (TS (NaCl) در نزدیکی خط میانه قرار می گیرند نشان دهنده فرایند جوشش هستند (Shepherd et al., 1985; Wilkinson, 2001) (پ) تغییرات دمای همگن شدگی میانبارهای سیال دوفازی غنی از بخار که به فاز بخار که به فاز بخار همگن شده است.



A-D: Isothermal mixing; B: Heating; C: Cooling; E: Surface fluid dilution; F: Boiling (low salinity, CO_2 - bearing); G: Boiling

جدول ۱- نتایج تجزیه‌های دماسنگی و تعیین شوری در میانبارهای سیال نمونه‌های منطقه معدنی سوناجیل.

No.	Phases	T _(FM)	T _(LM)	T _{H(L-V)}	T _{S(NaCl)}	T _H	Wt% NaCl	Vein
1	L+V+S(S>V)			482	550	550	66.8	A
2	L+V+S(S>V)			458	543	543	65.8	
3	L+V	-54	-5	490		490	7.86	
4	L+V	-51	-3	510		510	4.96	
5	L+V	-24.3	-4.8	303		303	7.59	
6	L+V	-24.5	-3.2	364		364	5.26	
7	L+V+S(S>V)			495	523	523	62.9	
8	L+V+S(S>V)			486	518	518	62	
9	L+V	-21.2	-2	288		288	3.39	B
10	L+V	-21	-4	315		315	6.45	
11	L+V	-24	-5.2	484		484	8.14	
12	L+V	-27	-4.6	466		466	7.31	
13	L+V+S(S>V)			322	381	381	45.5	
14	L+V+S(S>V)			352	393	393	46.7	
15	L+V	-21.3	-1.7	312.5		312.5	2.9	
16	L+V	-23.2	-1.1	415		415	1.91	
17	L+V	-23.7	-2.1	296		296	3.55	A
18	L+V+S(S>V)			359	412	412	48.8	
19	L+V	-21.9	-3.1	558		558	5.11	
20	L+V	-25.3	-2.3	498		498	3.87	
21	L+V			475		475	V	
22	L+V			463		463	V	
23	L+V+S			353	353	353	42.7	
24	L+V+S(S<V)			485	390	485	46.4	
25	L+V+S(S>V)			225	452	452	53.5	D
26	L+V+S(S>V)			280	461	461	54.6	
27	L+V	-23.5	-5.3	385.5		385.5	8.28	
28	L+V	-21.5	-3.4	412		412	5.56	
29	L+V	-23.2	-6.7	356.7		356.7	10.11	
30	L+V	-22	-3.4	384		384	5.56	
31	L+V	-25.8	-5.2	305		305	8.14	
32	L+V	-24.8	-5	336		336	7.86	
33	L+V+S			501	501	501	59.9	A
34	L+V+S			495	495	495	59.2	

ادامه جدول ۱

No.	Phases	T _(FM)	T _(LM)	T _{H(L-V)}	T _S (NaCl)	T _H	Wt% NaCl	Vein
35	L+V	-21.5	-0.5	498		498	0.71	D
36	L+V	-24.2	5.8	511		511	8.95	
37	L+V	-24.2	-5.8	395		395	8.95	
38	L+V	-22.2	-3.4	415		415	5.56	
39	L+V+S(S>V)			401	449	449	53.2	
40	L+V+S(S>V)			422	458	458	54.1	
41	L+V	-22	-3.1	301		301	5.11	
42	L+V	-21.2	-3	335		335	4.96	
43	L+V	-20.9	-3.7	295		295	6.01	
44	L+V	-21.7	-2.9	312		312	4.8	
45	L+V	-23.3	-11.2	310		310	15.17	
46	L+V	-21.7	-2.7	369		369	4.49	
47	L+V	-20.5	-2.9	260		260	4.8	
48	L+V	-21	-4.2	312		312	6.74	
49	L+V	-54	-8.5	180.5		180.5	12.28	B
50	L+V	-51	-7.9	218		218	11.58	
51	L+V+S(S>V)			470.8	510	510	61.1	
52	L+V+S(S>V)			495	531	531	64	
53	L+V+S(S<V)			325	260	325	35.3	
54	L+V+S(S>V)			395	522	522	62.8	
55	L+V	-47.5	-5	355		355	7.86	
56	L+V	-39.3	-5.2	398		398	8.14	
57	L+V	-42.5	-9.2	401		401	13.7	
58	L+V	-45.2	-8.1	412		412	11.81	
59	L+V+S			350.6	350.6	350.6	42.8	
60	L+V+S			335	335	335	41	
61	L+V+S(S<V)			385.5	300.9	385.5	38.3	
62	L+V+S			410	410	410	48.5	
63	L+V	-24.5	-4.1	300.3		300.3	6.59	D
64	L+V	-23.8	-3.9	351		351	6.3	
65	L+V	-20.2	-5.4	390.3		390.3	8.41	
66	L+V	-21.3	-3.8	412.8		412.8	6.16	
67	L+V	-34.1	-7	277.3		277.3	10.49	
68	L+V	-22	-4.3	402		402	6.88	

ادامه جدول ۱

No.	Phases	T _(FM)	T _(LM)	T _{H(L-V)}	T _{S(NaCl)}	T _H	Wt% NaCl	
69	L+V+S(S>V)			350.2	378	378	45.3	A
70	L+V+S(S>V)			365	392	392	46.7	
71	L+V	-37	-5	268		268	7.86	
72	L+V	-34	-4	285		285	6.45	
73	L+V			483.4		483.4	V	
74	L+V			495		495	V	
75	L+V	-22.4	-4.1	355		355	6.59	
76	L+V	-23.1	-2.8	365		365	4.65	
77	L+V	-36	-5.1	392		392	8	
78	L+V	-35	-4.7	408		408	7.45	
79	L+V+S(S>V)			460	556	556	67.2	
80	L+V+S(S>V)			480	565	565	69	
81	L+V+S(S>V)			407.1	535	535	64.5	
82	L+V+S(S>V)			418	495	495	59	
83	L+V	-21.4	-3.7	428		428	6.01	D
84	L+V	-21.6	-2.2	395		395	3.71	
85	L+V			395		395	V	
86	L+V			415		415	V	
87	L+V	-24	-5.3	410		410	8.28	
88	L+V	-22.8	-3.8	425		425	6.16	
89	L+V	-27	-2.9	393		393	4.8	
90	L+V	-25	-3.4	410		410	5.56	
91	L+V+S(S>V)			312	412.6	412.6	48.9	
92	L+V+S(S<V)			461.8	423.2	461.8	50	
93	L+V	-22.4	-4.7	315		315	7.45	
94	L+V	-25	-3.8	356		356	6.16	
95	L+V	-24.5	-4.2	565		565	6.74	
96	L+V	-22.2	-2.8	512		512	4.65	
97	L+V	-25	-5.1	310		310	8	
98	L+V	-24.9	-4.1	308		308	6.59	B
99	L+V	-20.1	-3.1	371		371	5.11	
100	L+V	-20.4	-5.4	396.5		396.5	8.41	
101	L+V	-21.3	-3.2	413		413	5.26	
102	L+V	-21.7	-1.2	412.5		412.5	2.07	
103	L+V	-21.5	-1.5	435		435	2.57	
104	L+V	-34.1	-7	291		291	10.49	
105	L+V	-30	-5.3	346		346	8.28	
106	L+V+S(S>V)			327	386	386	46	
107	L+V+S(S>V)			338	430	430	50.8	
108	L+V	-24.9	-4.1	300.9		300.9	6.59	

1 جدول ادامه

109	L+V	-23.3	-4	328		328	6.45	
110	L+V+S(S>V)			350.2	378	378	45	
111	L+V+S(S>V)			368	392	392	46.7	
112	L+V	-22.9	-2.9	410		410	4.8	
113	L+V	-21.3	-3.4	419		419	5.56	
114	L+V	-27.5	-5	400.3		400.3	7.86	
115	L+V	-24.5	-3.5	435		435	5.71	A
116	L+V+S(S>V)			383	412	412	48.8	
117	L+V+S(S>V)			395	428	428	50.4	
118	L+V+S(S<V)			423	350	423	42.4	
119	L+V+S(S<V)			456	390	456	46.4	
120	L+V	-24.2	-3.8	356		356	6.16	
121	L+V	-22	-2.8	288		288	4.65	
122	L+V	-21.9	-3.9	315		315	6.3	
123	L+V+S(S>V)			469	538	538	65.1	
124	L+V+S(S>V)			495	552	552	67	B

جدول ۲- مراحل تشکیل و توالی پاراژنزی کانه‌ها و کانی‌ها در کانسار پورفیری سوناجیل.

Minerals/ Alterations	Mineralization							
	Hypogene						Supergene	
	Vein-Veinlets A	Vein-Veinlets B	Vein-Veinlets C	Vein-Veinlets D	Vein-Veinlets E	Vein-Veinlets F	Sulphides	Oxides
Quartz								
Calcite								
Pyrite								
Chalcopyrite								
Bornite								
Molybdenite								
Tenantite-Tenantite								
Enargite								
Magnetite								
Spicularite								
Chalcocite								
Covellite								
Malachite								
Azurite								
Alt	Potassic							
	Phyllitic							

کتابنگاری

- حسینزاده، ق.، ۱۳۸۷- مطالعات زمین شناسی، ژئوشیمی، میانبارهای سیال، کانی سازی، دگرسانی و زنگ کانسار مس پورفیری سوناجیل - خاور هریس (استان آذربایجان شرقی)، رساله دکترا، دانشگاه تبریز.
- حسینزاده، م. ر.، مؤید، م.، مغفوری، س.، علیپور، س. و حاج علیلو، ب.، ۱۳۹۴- زمین شناسی، دگرسانی، کانه زایی و مطالعات میانبارهای سیال در کانسار بالوجه؛ نمونه ای از کانسارهای مس- مولیدن پورفیری در زون مانگماهی ارسباران، فصلنامه علوم زمین، سال ۲۴، شماره ۹۵، صص. ۲۹۷ تا ۳۰۸.
- حسینی، م.، قادری، م. و علیرضایی، س.، ۱۳۹۰- انواع سیستم های رگه- رگچه و ارتباط آنها با کانه زایی در کانسار مس تخت گبید، شمال خاور سیرجان، پانزدهمین همایش انجمن زمین شناسی ایران، دانشگاه خوارزمی.
- زنوزی، ر.، خاکزاد، ا. و مهرپرتو، م.، ۱۳۸۷- مطالعه زمین شناسی اقتصادی کانسار مس- طلا در محدوده مسجد داغی، مجله علوم پایه دانشگاه آزاد اسلامی (JSIAU)، جلد ۱۸، شماره ۶۹.
- کلاگری، ع.، پاتریک، آ. و پولی، د.، ۱۳۸۰- مطالعه رگچه ها و ریز رگچه ها در کانسار مس پورفیری سونگون آذربایجان خاوری، فصلنامه علوم زمین، سال دهم، شماره ۳۹- ۴۰.
- لسكویه، ج. ل.، ریو، ر. و باباخانی، ع. ر.، ۱۳۶۹- شرح نقشه زمین شناسی چهارگوش اهر، ۱۲۵۰۰۰، سازمان زمین شناسی و اکتشافات معدنی کشور.
- مهندی، م. و امینی فضل، ع.، ۱۳۶۸- نقشه زمین شناسی اهر با مقیاس ۱:۱۰۰۰۰۰، سازمان زمین شناسی و اکتشافات معدنی کشور.

References

- Agard, P., Omrani, J., Jolivet, L., Whitechurch, H., Vrielynck, B., Spakman, W., Monié, P. and Meyer, P., 2011- Zagros orogeny: a subduction dominated process, *Geol. Mag.*: page 1 of 34.
- Calagari, A. A., 2004- Fluid inclusion studies in quartz veinlets in the porphyry copper deposit at Sungun, East-Azabaidjan, Iran. *Journal of Asian Earth Sciences* 23, PP 179-189.
- Graupner, T., Götze, J., Kempe, U. and Wolf, D., 2000- CL for characterizing quartz and trapped fluid inclusions in mesothermal quartz veins: Qolqoleh Au ore deposit, Uzbekistan: *Mineralogical Magazine*, v. 64, p. 1007-1016.
- Gustafson, L. B. and Hunt, J. P., 1975- The porphyry copper deposit at El Salvador, Chile: *Economic Geology*, v. 70, p. 857-912.
- Jamali, H. and Mehrabi, B., 2014- Relationships between arc maturity and Cu-Mo-Au porphyry and related epithermal mineralization at the Cenozoic Arasbaran magmatic belt, *Ore Geology Reviews*.
- Maghsoudi, A., Yazdi, M., Mehrpartou, M., Vosoughi, M. and Younesi, S., 2012- Porphyry Cu-Au mineralization in the Mirkuh Ali Mirza magmatic complex, NW Iran, *Journal of Asian Earth Sciences*.
- Richards, J., 2003- Tectono-Magmatic Precursors for Porphyry Cu-(Mo-Au) Deposit Formation, *Economic Geology* Vol. 98, 2003, pp. 1515-1533.
- Richards, J., 2011- Magmatic to hydrothermal metal fluxes in convergent and collided margins, *Ore Geology Reviews* 40 PP.1-26.
- Roedder, E., 1984- Fluid inclusions. *Mineralogical Society of America, Reviews in Mineralogy*, 12: 646 pp.
- Shepherd, T. J., Rankin, A. H. and Alderton, D. H., 1985- A practical guide to fluid inclusion studies. Glasgow, Blackie and Son. 239p.
- Sillitoe, J. and Perello, J., 2005- Andean Copper Province: Tectonomagmatic Settings, Deposit Types, Metallogeny, Exploration, and Discovery, *Society of Economic geologist* 100 th, pp, 845-890.
- Sillitoe, R. H., 2000- Gold-rich porphyry deposits: Descriptive and genetic models and their role in exploration and discovery, *SEG Reviews* 13, 315-345.
- Sillitoe, R., 2010- Porphyry Copper Systems, *Economic Geology*, v. 105, pp. 3-41.
- Wilkinson, J. J., 2001- Fluid inclusions in hydrothermal ore deposits, *Lithos* 55. 229-272.

Different types of vein- veinlets related to mineralization and fluid inclusion studies in the Sonajil porphyry Cu- Mo deposit, Arasbaran magmatic zone

M. R. Hosseinzadeh^{1*}, S. Maghfouri², M. Ghorbani² and M. Moayyed³

¹Associate Professor, Department of Earth Sciences, Faculty of Natural Sciences, University of Tabriz, Tabriz, Iran

²Ph.D. Student, Department of Earth Sciences, Faculty of Natural Sciences, University of Tabriz, Tabriz, Iran

³Professor, Department of Earth Sciences, Faculty of Natural Sciences, University of Tabriz, Tabriz, Iran

Received: 2015 August 19 Accepted: 2016 March 16

Abstract

The study area is located in Arasbaran metallogenic zone. Rocks of the Sonajil region include Eocene andesite lava, porphyry microdiorite, Incheh granitoid and Ozudaghi Plioquaternary volcanic rocks. Porphyry microdiorite is the main host rock of porphyry type Cu- Mo mineralization in the Sonajil deposit. Much of the mineralization in the Sonajil deposit is dispersive and vein- veinlet type. Based on the structure, mineralogy and texture, the Sonajil vein- veinlets can be divided into sex different groups. These veins - veinlets contains sulfide (pyrite, chalcopyrite, molybdenite, bornite, galena, tetrahedrite, tenantite and enargite), hydroxide and oxide (magnetite and spicularite) and carbonate (malachite and azurite) minerals. Various types of fluid inclusions including mono-phase vapor, two-phase liquid and vapor, and multiphase liquid-vapor-solid of primary origin are present within quartz-sulfide veinlets. TH (L-V) for halite-bearing inclusions homogenizing by disappearance of halite and of vapor are 260-565°C, 320-520°C, respectively and salinity are 35.3- 69 % NaCl. TH (L-V) for two-phase inclusions homogenizing temperatures are 180-565°C, and salinity are 0.7- 15.17 % NaCl. In bivariate plot of TH- salinity, two distinct populations of high and low salinity fluids are recognizable and most of the data points relating to the high salinity plot above the halite saturation curve. The coexistence of vapor-rich two-phase and halite-bearing inclusions having similar TH ranges can be indicative of boiling in the Sonajil porphyry deposit.

Keywords: Cu- Mo porphyry deposit, Vein- Veinlet, Fluid Inclusion, Sonajil, Arasbaran zone.

For Persian Version see pages 219 to 230

*Corresponding author: M. R. Hosseinzadeh; E-mail: Mr-hosseinzadeh@tabrizu.ac.ir